

Modellbildung und Simulation

Sommersemester 2011

4. Vorlesung

Klaus Kasper

Termine

Veranstaltung	Vorlesung Mo 18-21 (X) D14/104	Praktikum Mo 18-21 (Y) D15/107	Praktikum Fr 12-15 (X) D15/107
1. Termin	28.03.11	04.04.11	08.04.11
2. Termin	11.04.11	18.04.11	29.04.11
3. Termin	02.05.11	09.05.11	13.05.11
4. Termin	16.05.11	23.05.11	27.05.11
5. Termin	30.05.11	06.06.11	17.06.11
6. Termin	20.06.11	27.06.11	01.07.11

Organisation

- Moodle-Server: <http://lernen.h-da.de/>
- Kurs: Informatik/Informatik (M.Sc.)/Sommersemester 2011/Modellbildung und Simulation – Kasper - SS 2011
- Schlüssel: MuS_KAS_SS2011
- Vorlesungen, Aufgabenblätter und weitere Materialien werden auf dem Moodle-Server zur Verfügung gestellt.
- Fragen und Anmerkungen zur Veranstaltung bitte immer über das Diskussionsforum der Veranstaltung, so dass immer alle informiert sind.
- Wenn Sie interessante Informationen finden, stellen Sie diese bitte auch allen zur Verfügung.

Inhalt

- Wiederholung (VaR)
 - Multivariate Normalverteilung
 - Historische Simulation
 - Monte Carlo Simulation
- Künstliche Neuronale Netze (KNN)
 - Einführung
 - Mehrschichtiges Perzeptron (MLP)
 - Back-Propagation
 - Implementierung MLP

Value at Risk (VaR)

Erwartungsvektor und empirische Kovarianzmatrix

$$\widehat{\underline{\mu}}_x = \sum_{n=1}^N \underline{x}(n) / N$$

$$\widehat{\underline{\underline{\text{COV}}}}_x = \begin{pmatrix} \text{COV}(x_1, x_1) & \cdot & \cdot & \cdot & \text{COV}(x_1, x_M) \\ \cdot & \cdot & \cdot & \cdot & \cdot \\ \cdot & \cdot & \cdot & \cdot & \cdot \\ \cdot & \cdot & \cdot & \cdot & \cdot \\ \text{COV}(x_M, x_1) & \cdot & \cdot & \cdot & \text{COV}(x_M, x_M) \end{pmatrix}$$

$$\text{COV}(x_i, x_j) = \sum_{n=1}^N (x_i - \mu_i)(x_j - \mu_j) / (N - 1) = \text{COV}(x_j, x_i)$$

Korrelation

Die Korrelation ist ein Maß für die Beziehung zwischen zwei Zufallsvariablen. Hinweis: Eine starke Korrelation lässt keine Aussage über den kausalen Zusammenhang zwischen Zufallsvariablen zu.

Die Komponente $\text{cov}(x_i, x_j)$ der Kovarianzmatrix der multivariaten Normalverteilung einer Modellgröße ist ein Maß für die Korrelation der i -ten Komponente der Modellgröße mit der j -ten Komponente der Modellgröße.

Berechnung des Korrelationskoeffizienten

$$\rho(x_1, x_2) = \frac{\text{COV}(x_1, x_2)}{\sigma(x_1) * \sigma(x_2)}$$

$\rho(x_1, x_2) = 0$: Unabhängigkeit der beiden Variablen

$\rho(x_1, x_2) = 1$: exakte positive lineare Abhängigkeit

$\rho(x_1, x_2) = -1$: exakte negative lineare Abhängigkeit

Mehrdimensionale Gaußdichte

$$f(\underline{x}) = \frac{1}{\sqrt{(2\pi)^n \cdot \det(\underline{\underline{\text{cov}}}_{\underline{x}})}} e^{-\frac{1}{2}(\underline{x} - \underline{\mu}_x)^T (\underline{\underline{\text{cov}}}_{\underline{x}})^{-1} (\underline{x} - \underline{\mu}_x)}$$

Multivariate Normalverteilung (2-dimensional)

Interaktive Demo:

<http://www.uni-konstanz.de/FuF/wiwi/heiler/os/vt-binorm3d.html>

<http://lstat.kuleuven.be/java>

Glossar

Modellgröße: Die zu modellierende Größe. Beispiel: Wert bzw. Preis der Bestandteile des Portfolios (Rohdaten). eine sinnvolle Parametrisierung ist die Berechnung relativer Änderungen.

empirisch: Die Prognose wird aus historischen Beobachtungen, Simulationen oder subjektiven Einschätzungen gewonnen.

parametrisch: Die Prognose wird auf der Basis der Annahme des Typs der zu Grunde liegenden Verteilung und der Schätzung der erforderlichen Parameter der Verteilung gewonnen.

Konzepte zur Berechnung des VaR

- Historische Simulation
- Monte Carlo Simulation

Historische Simulation

- Verfahren: historisch/empirisch
- Historische Beobachtungen der Modellgrößen werden gesammelt.
- Aus den historischen Beobachtungen werden Wertänderungen des aktuellen Portfolio berechnet.
- Aus der geordneten (empirischen) Messreihe der berechneten Änderungen des Portfolio wird das Quantil bestimmt.
- Hinweis: Für die Anwendung der historischen Simulation muss keine Annahme über die zu Grunde liegende Verteilung getroffen werden.

Monte Carlo Simulation

- Verfahren: parametrisch/empirisch
- An Hand empirischer Daten werden die Parameter einer zu Grunde gelegten Verteilung der Modellgrößen geschätzt.
- Es werden zufällig Werte (Wertänderungen) erzeugt, die der geschätzten Verteilung gehorchen.
- Für jede zufällig erzeugte Wertänderung wird die Auswirkung auf das aktuelle Portfolio berechnet.
- Aus der geordneten (empirischen) Messreihe der simulierten Änderungen des Portfolio wird das Quantil bestimmt.

Zufallsprozesse

- Radioaktiver atomarer Zerfall
- Thermisches Rauschen (Widerstand)
- Zufallsprozesse sind reale physikalische Prozesse.
- Zur Durchführung von Simulationen werden häufig Zufallszahlen benötigt.
- Nur sehr selten werden zur Erzeugung von Zufallszahlen reale Zufallsprozesse beobachtet.

Zufallsgeneratoren

- Meist werden für Simulationen Zufallsgeneratoren eingesetzt, die algorithmisch Zufallszahlen erzeugen.
- Hierbei handelt es sich um deterministische Pseudo-Zufallszahlen, die sich periodisch wiederholen.
- Es werden also immer die selben Zufallszahlen aufeinander folgen.

Beispiel

rand() unter BSD-Unix (Linear Kongruenter Generator LCG)

$$x(n) = (a * x(n-1) + c) \bmod m$$

$$a = 1103515245$$

$$c = 12345$$

$$m = 2^{31}$$

Periode: 2^{31}

x ist die aktuell berechnete Zufallszahl, die von der vorher berechneten eindeutig abhängt. Daher ist die Initialisierung von x von großer Bedeutung.

Anwendung

Initialisierung erfolgt über einen Seed (Saat)-Wert. Häufig wird die aktuelle Systemzeit verwendet.

```
srand( time(0))
```

Der von *rand()* generierte Wert liegt im Bereich:

$$0 \leq x \leq m$$

Für die Erzeugung von Zufallszahlen aus einem speziellen Wertebereich sollte das Ergebnis von *rand()* mit *m* und dem gewünschten Wertebereich skaliert werden. Üblicherweise kann *m* als Konstante abgefragt werden.

Erzeugung standardisierter normalverteilter Zufallszahlen

1. Erzeugung zweier gleichverteilter unabhängiger Zufallszahlen x_1 und x_2 zwischen 0 und 1.
2. Umformungen: $v_1 = 2x_1 - 1$, $v_2 = 2x_2 - 1$, $s = v_1^2 + v_2^2$
3. Falls $s \geq 1$, zurück zu 1.
4. $u_1 = v_1 \sqrt{-(2/s) \ln(s)}$, $u_2 = v_2 \sqrt{-(2/s) \ln(s)}$

u_1 und u_2 sind zwei unabhängige Zufallszahlen, die der Standardnormalverteilung folgen.

Erzeugung normalverteilter Zufallszahlen

Eine Normalverteilung N ist mit einer Kovarianzmatrix

$\widehat{\underline{\underline{\text{cov}}}}_{\underline{x}}$ und einem Erwartungsvektor $\widehat{\underline{\underline{\mu}}}_{\underline{x}}$ vollständig definiert.

Zufallsvektoren \underline{y} , die der Normalverteilung N genügen, können durch folgende Operation erzeugt werden:

$$\underline{y} = \underline{\underline{D}}\underline{u} + \widehat{\underline{\underline{\mu}}}_{\underline{x}},$$

wobei \underline{u} ein Zufallsvektor ist, der einer Standardnormalverteilung folgt, und $\underline{\underline{D}}$ die untere Dreiecksmatrix der Cholesky-Zerlegung der Kovarianzmatrix ist.

Cholesky-Zerlegung

$\underline{\underline{B}}$ sei die Kovarianzmatrix $\widehat{\underline{\underline{cov}}}_x$.

$\underline{\underline{B}} = \underline{\underline{D}}\underline{\underline{D}}^T$ wird als Cholesky-Zerlegung bezeichnet.

Die Koeffizienten d_{ij} der Matrix $\underline{\underline{D}}$ können in folgender Weise berechnet werden:

$$d_{ij} = \begin{cases} 0 & \text{für } i < j \\ \sqrt{b_{ii} - \sum_{k=1}^{i-1} d_{ik}^2} & \text{für } i = j \\ \frac{1}{d_{jj}} \left(b_{ij} - \sum_{k=1}^{j-1} d_{ik} d_{jk} \right) & \text{für } i > j \end{cases}$$

Cholesky-Zerlegung

B sei die Kovarianzmatrix $\widehat{\text{cov}}_{\underline{x}}$.

D ist die untere Dreiecksmatrix der Cholesky-Zerlegung.

$$d_{ij} = \begin{cases} 0 & \text{für } i < j \\ \sqrt{b_{ii} - \sum_{k=1}^{i-1} d_{ik}^2} & \text{für } i = j \\ \frac{1}{d_{jj}} \left(b_{ij} - \sum_{k=1}^{j-1} d_{ik} d_{jk} \right) & \text{für } i > j \end{cases}$$

d_{11}	0	0	0
d_{21}	d_{22}	0	0
d_{31}	d_{32}	d_{33}	0
d_{41}	d_{42}	d_{43}	d_{44}

Cholesky-Zerlegung

B sei die Kovarianzmatrix $\widehat{\text{cov}}_{\underline{x}}$.

D ist die untere Dreiecksmatrix der Cholesky-Zerlegung.

$$d_{ij} = \begin{cases} 0 & \text{für } i < j \\ \sqrt{b_{ii} - \sum_{k=1}^{i-1} d_{ik}^2} & \text{für } i = j \\ \frac{1}{d_{jj}} \left(b_{ij} - \sum_{k=1}^{j-1} d_{ik} d_{jk} \right) & \text{für } i > j \end{cases}$$

d_{11}	0	0	0
d_{21}	d_{22}	0	0
d_{31}	d_{32}	d_{33}	0
d_{41}	d_{42}	d_{43}	d_{44}

Zusammenfassung

1. Berechnung von Kovarianzmatrix und Erwartungsvektor.
2. Berechnung der Cholesky-Zerlegung der Kovarianzmatrix.
3. Erzeugung von Zufallsvektoren, die der Standardnormalverteilung folgen.
4. Auf Basis des Erwartungsvektors und der Cholesky-Zerlegung der Kovarianzmatrix kann für jeden erzeugten Zufallsvektor aus 3. ein Zufallsvektor generiert werden, der der Normalverteilung folgt, die durch die in 1. berechneten Parameter definiert wird.

Parametrisierung

- Kurse liegen als absolute Werte vor.
- Man möchte die Veränderung erfassen und hierbei eine gewisse Unabhängigkeit von den absoluten Größen erreichen.
- Es ist naheliegend die Kursveränderung als relativen Wert zu erfassen.

Deutsche Bank: 41,70 € (17.04.09), 39,26 € (16.04.09)

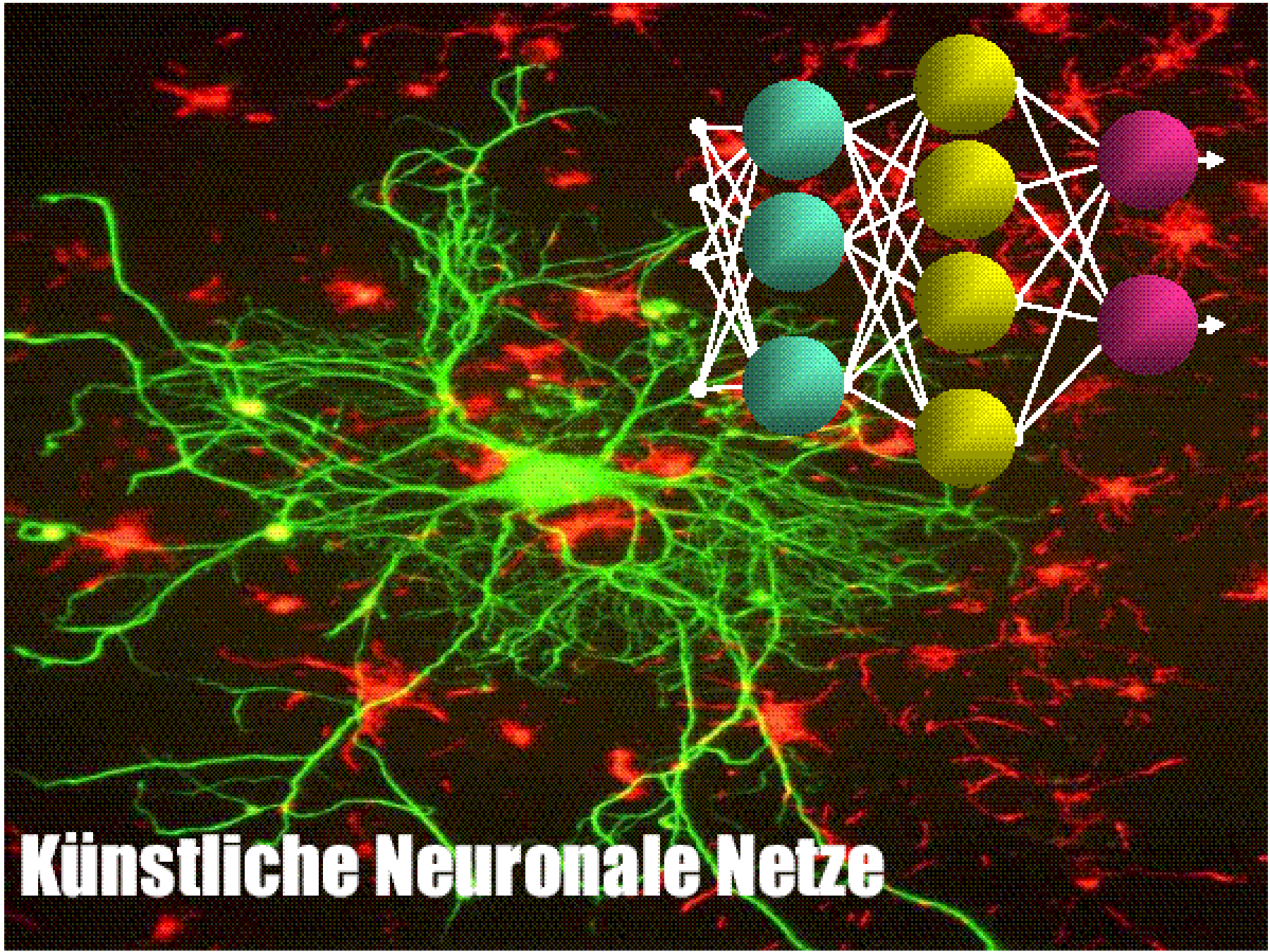
$$\frac{41,70 - 39,26}{39,26} = 0,062 = 6,2\%$$

Berechnung des VaR mit einer Monte Carlo Simulation

- An Hand historischer Daten werden der Erwartungsvektor und die empirische Kovarianzmatrix für den Vektor der Kursänderungen geschätzt. Wobei der Vektor die Kurse der Papiere enthält, die im aktuellen Portfolio enthalten sind.
- Es wird eine große Zahl von Zufallsvektoren erzeugt, die der geschätzten Normalverteilung der Kursänderungen der Werte des Portfolios folgen.
- Für jede zufällig erzeugte Wertänderung wird die Auswirkung auf das aktuelle Portfolio berechnet.
- Aus der geordneten (empirischen) Messreihe der simulierten Änderungen des Portfolio wird das Quantil bestimmt.

Berechnung des VaR

- **Monte Carlo Simulation**
- Sammlung und Analyse historischer Daten.
- Modellierung der Verteilung.
- Simulation von Kursentwicklungen gemäß der modellierten Verteilung.
- Große Zahl an Simulationen.
- Prognose von Kursentwicklungen.
- Berechnung des monetären Risikos für die Entwicklung des Portfolios.

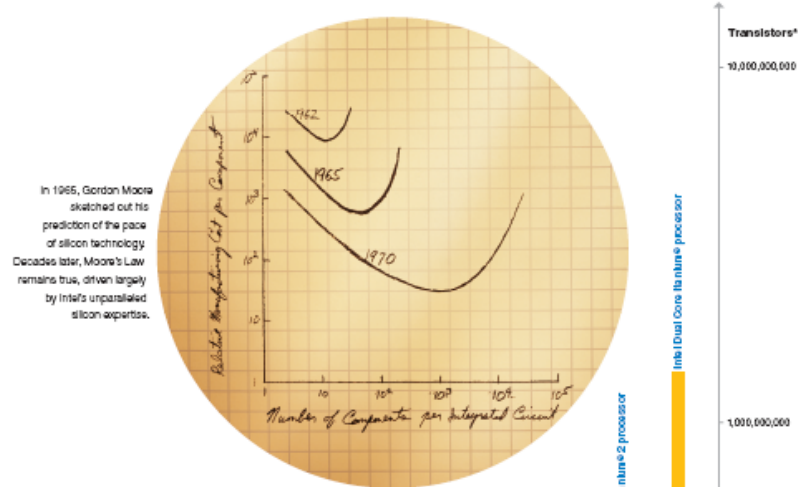


Künstliche Neuronale Netze

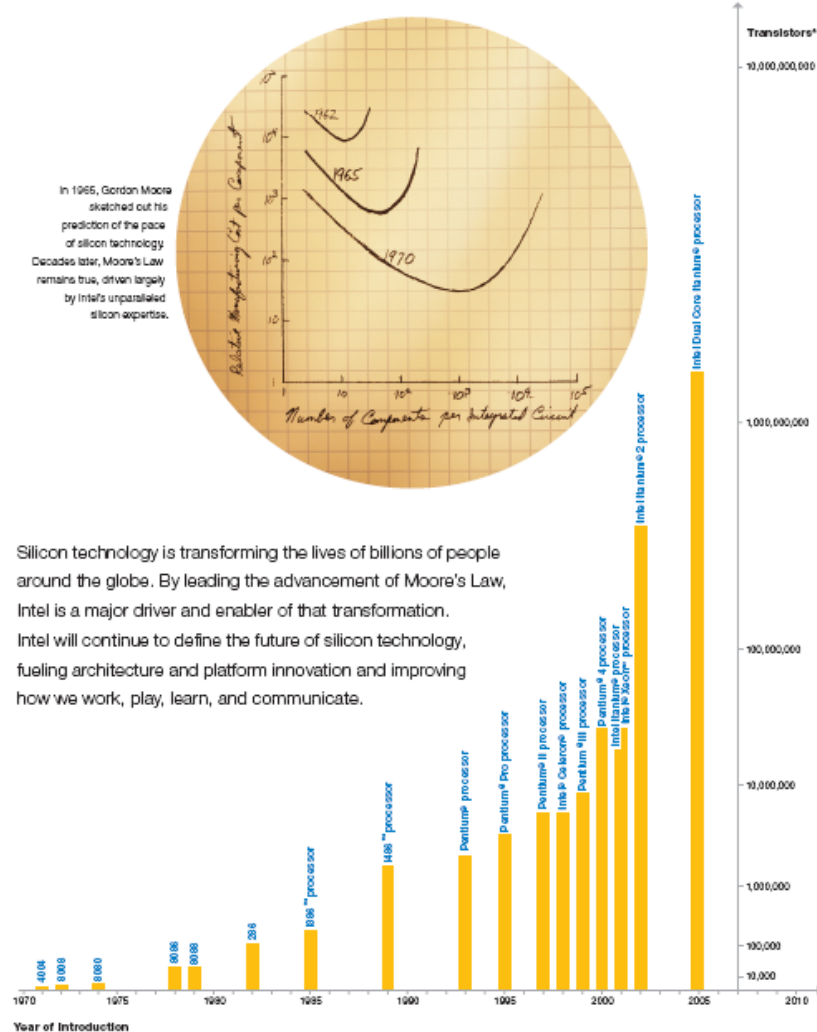
Moore's Law

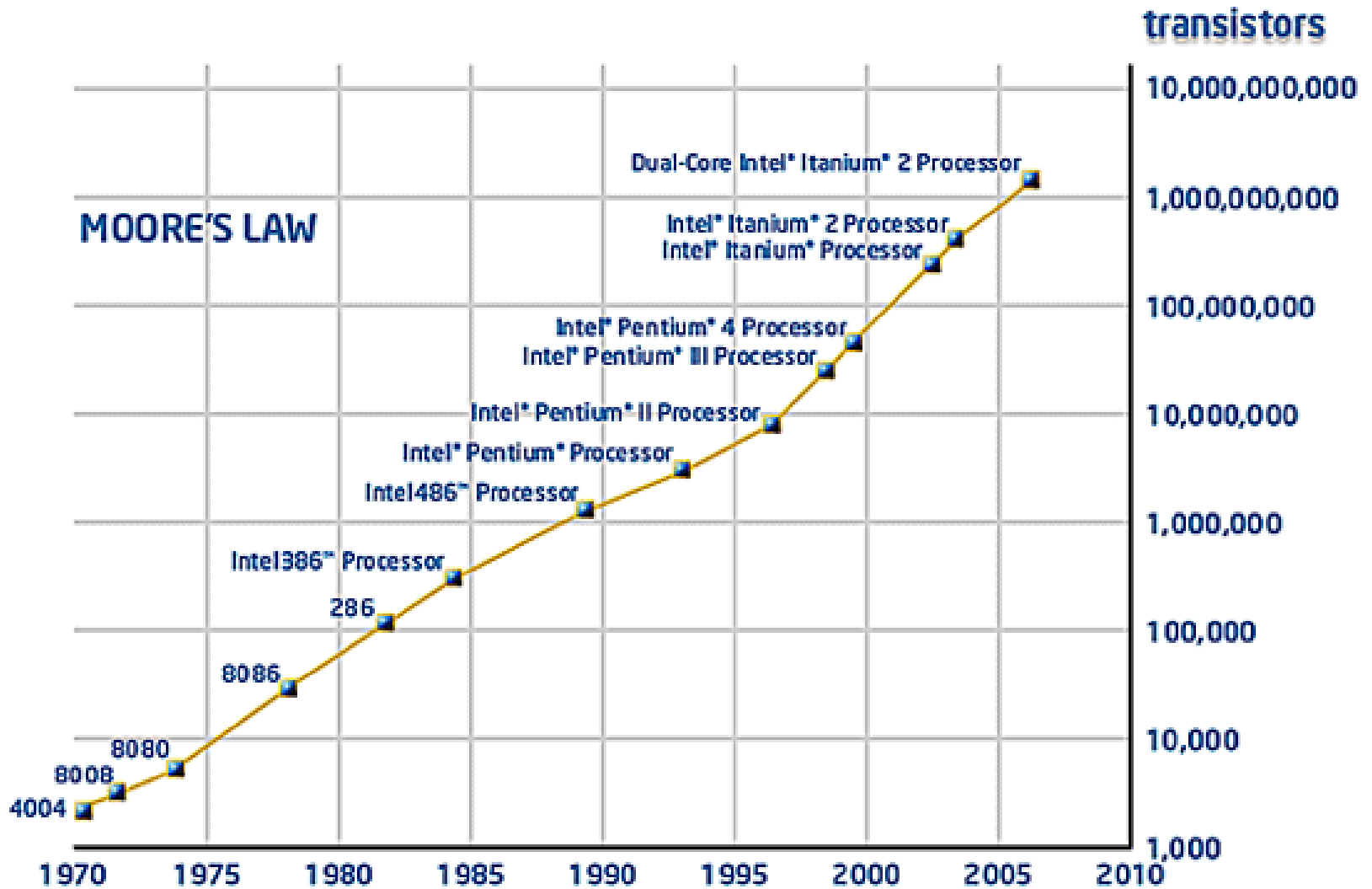
"The number of transistors incorporated in a chip will approximately double every 24 months."

Gordon Moore, Intel Co-founder

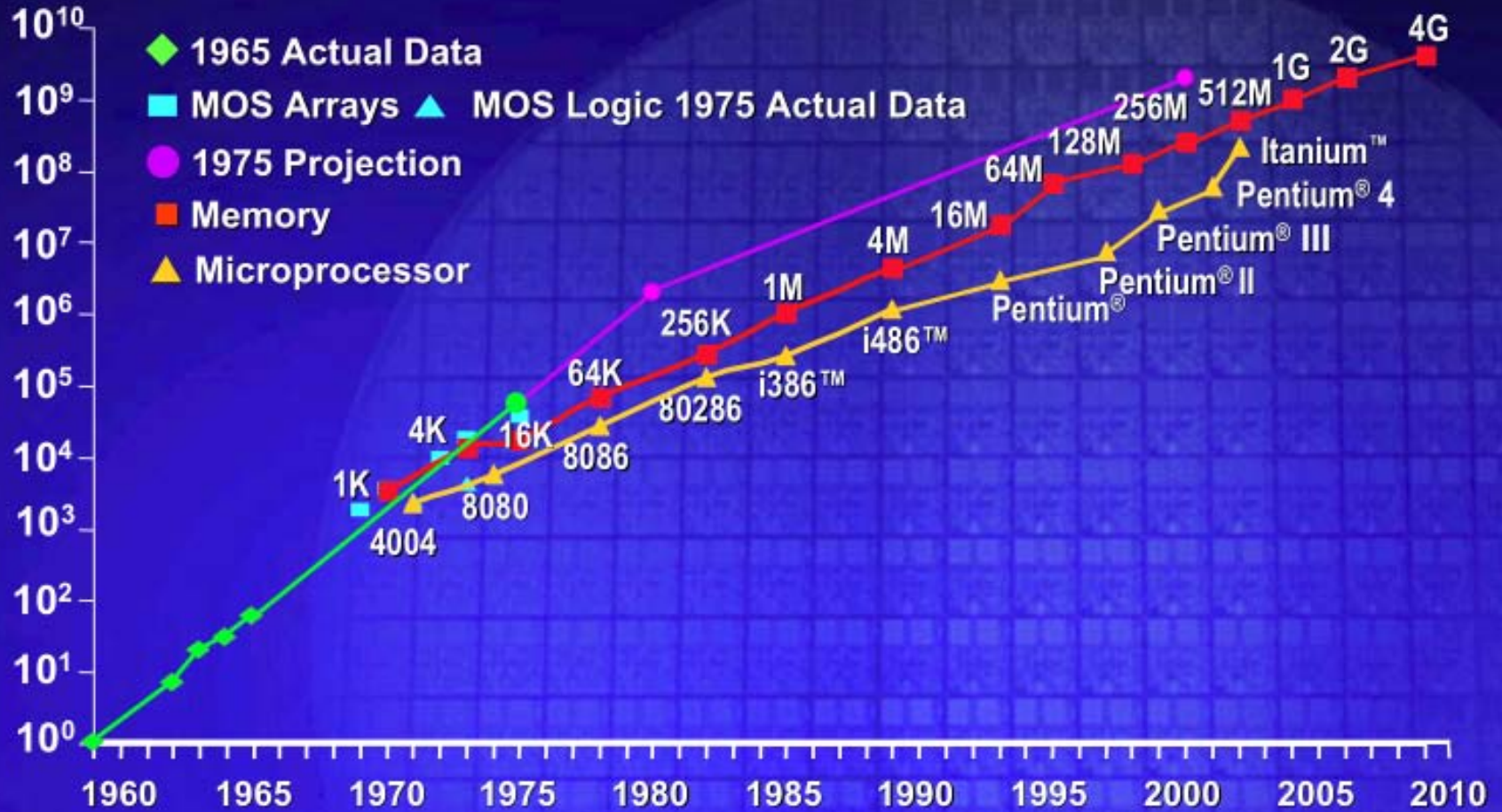


Silicon technology is transforming the lives of billions of people around the globe. By leading the advancement of Moore's Law, Intel is a major driver and enabler of that transformation. Intel will continue to define the future of silicon technology, fueling architecture and platform innovation and improving how we work, play, learn, and communicate.



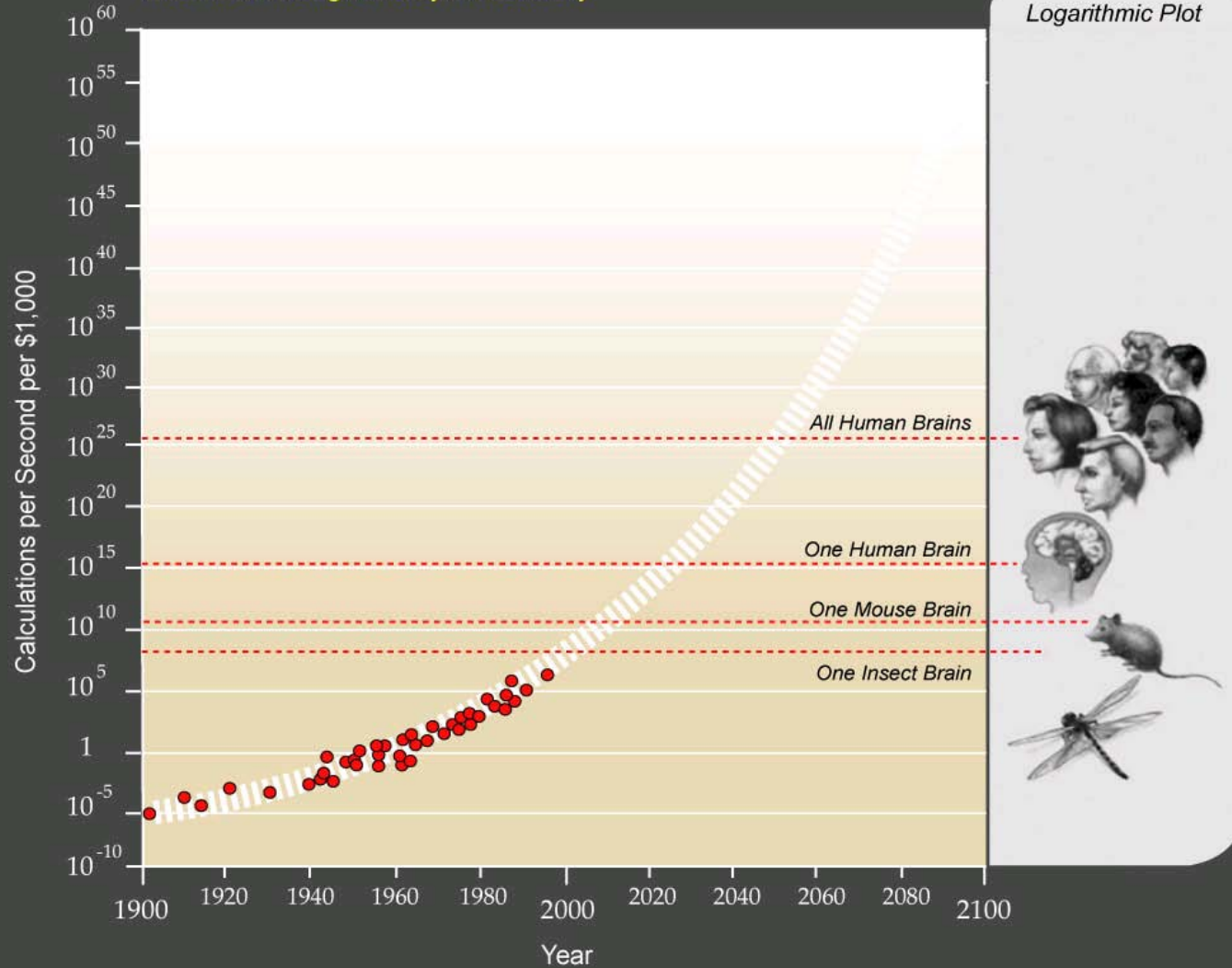


Transistors Per Die



Exponential Growth of Computing

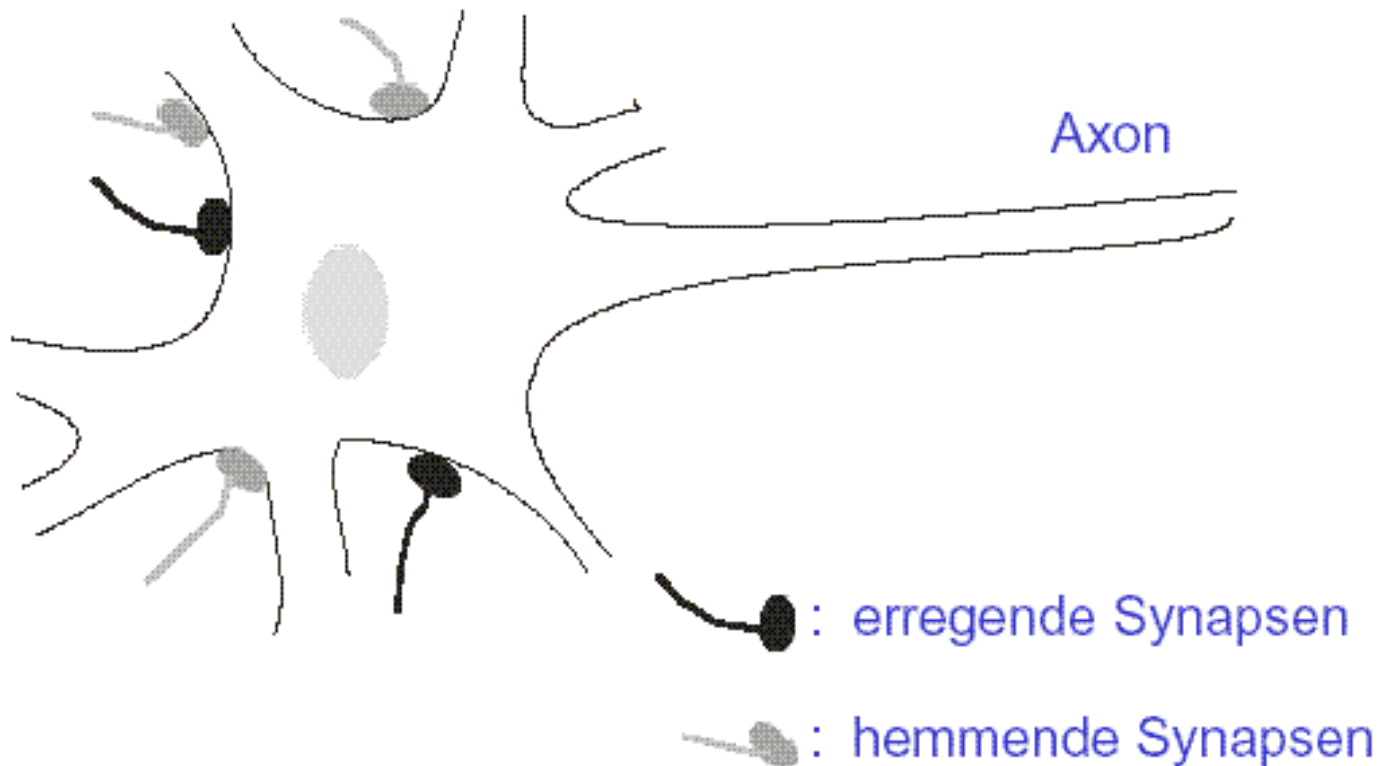
Twentieth through twenty first century



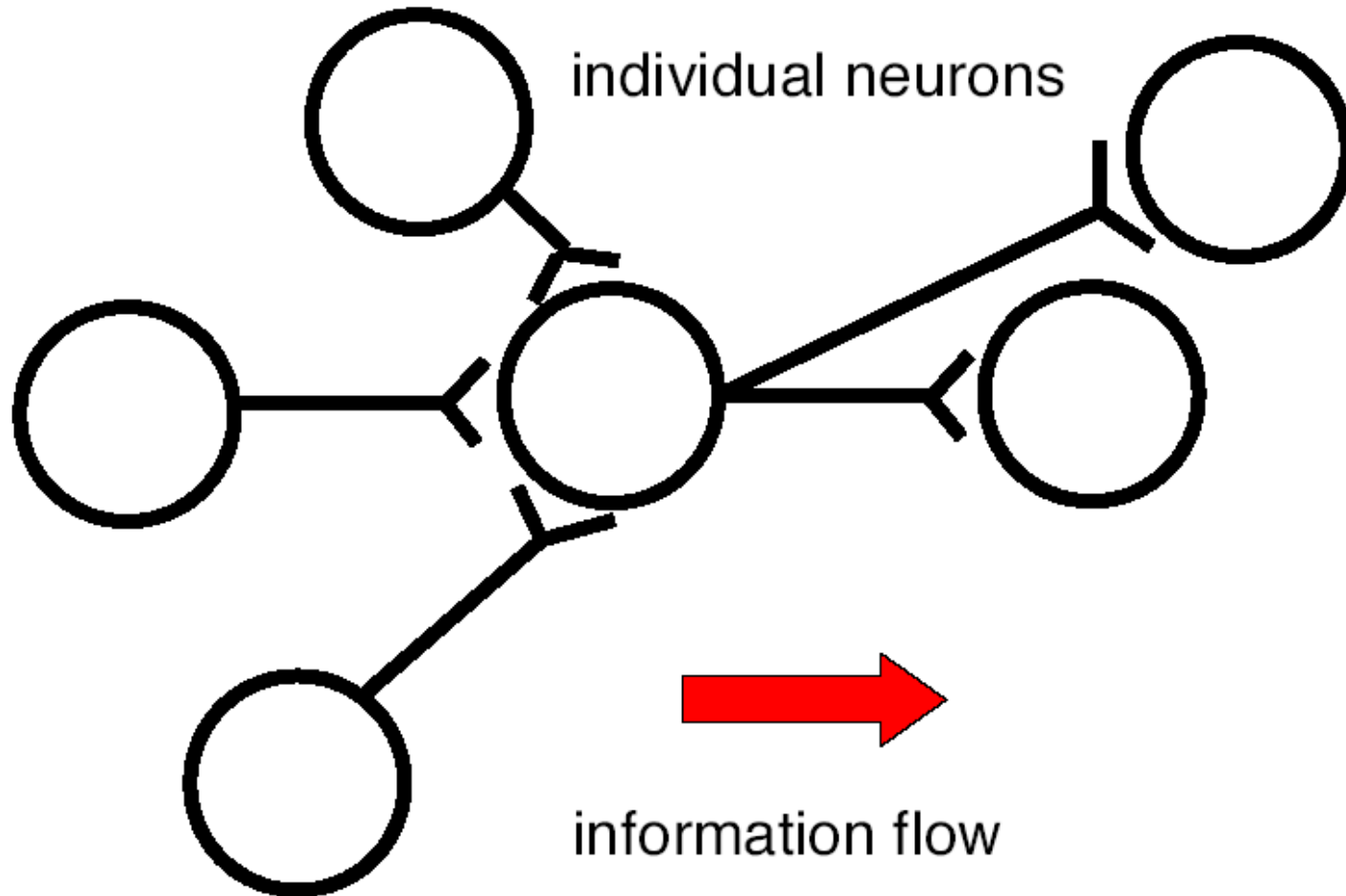
Gehirn - Mikroprozessor

	Gehirn	Mikroprozessor
Zeitskala	ms (10^{-3} s)	ns (10^{-9} s)
Anzahl Prozessoren	10^{10} - 10^{14} Neuronen	$\sim 10^9$ Transistoren
Parallelität	fein	grob
Konnektivität	10^3 - 10^5 Synapsen	< 10 direkte Verbindungen
Repräsentation	verteilt	lokal
Zuverlässigkeit	einzelne Neurone sterben, wenig Einfluss auf das System	Transistoren fallen selten aus, Ausfall hat großen Einfluss auf das System
Leistung	$\ll 10^{-6}$ W/Neuron 10^2 Watt/Mensch	10^{-1} W low power CPU 10^4 W Supercomputer

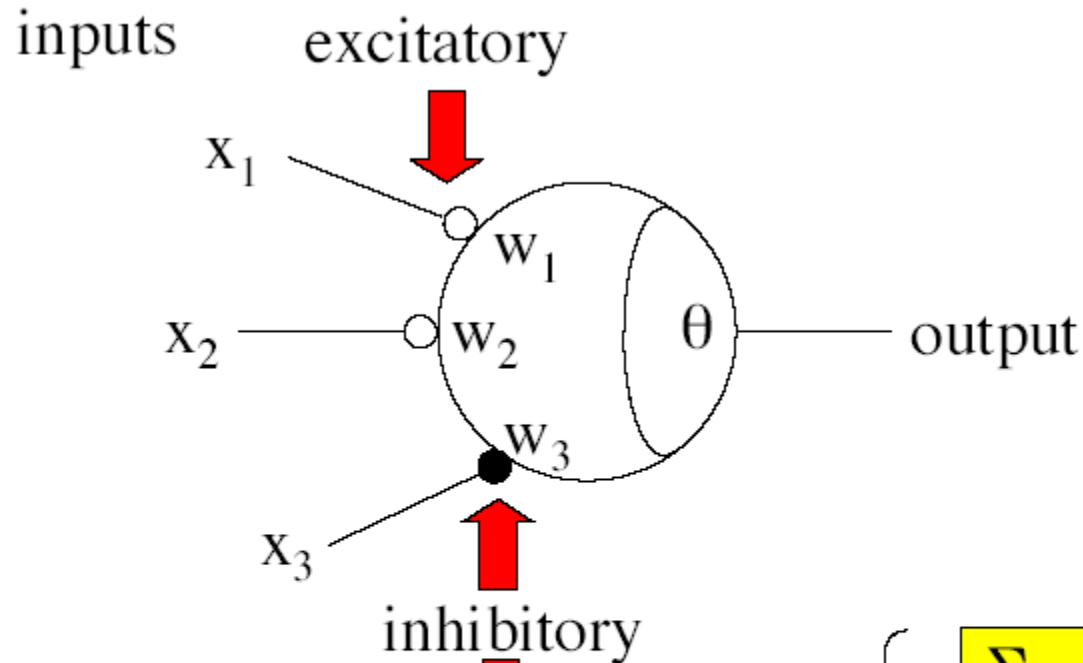
Aufbau eines Neurons



Künstliche Neuronen



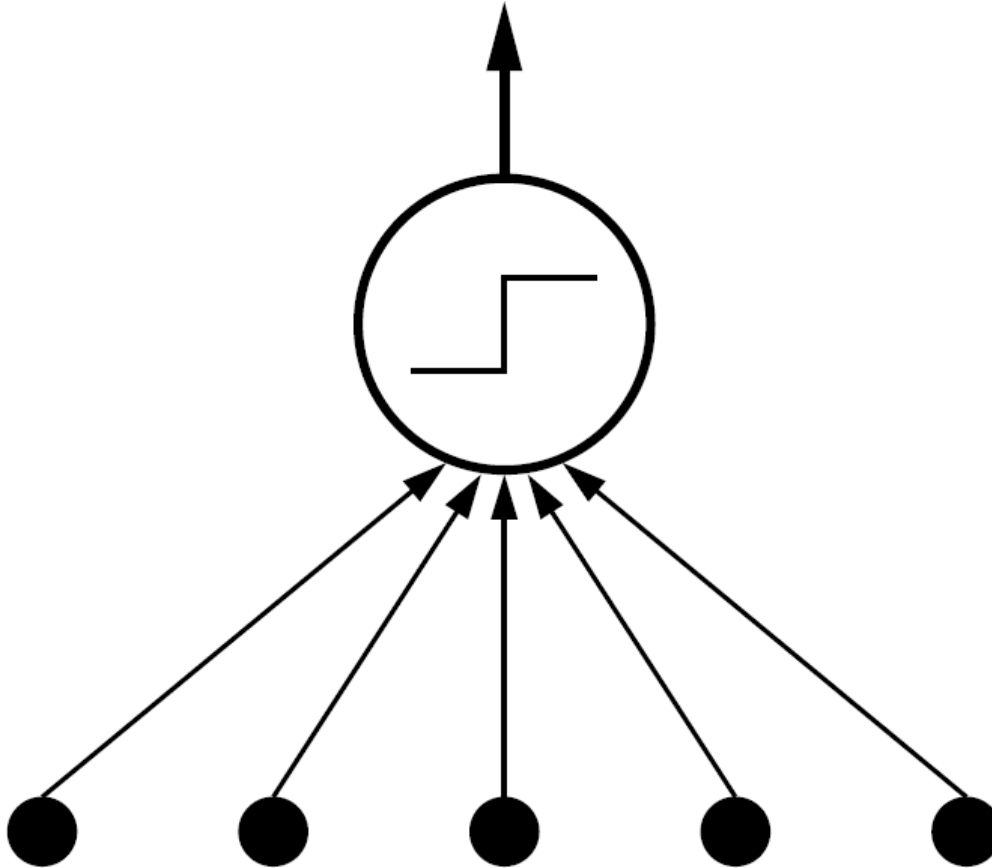
McCulloch-Pitts Neuron



$$\text{output} = \begin{cases} 1 & \text{if } w_1 x_1 + w_2 x_2 - w_3 x_3 > \theta \\ 0 & \text{otherwise} \end{cases}$$

$\sum w_i x_i > \theta$
if we allow weights
to be *signed*

Perzeptron



Output

Gewichte

Input

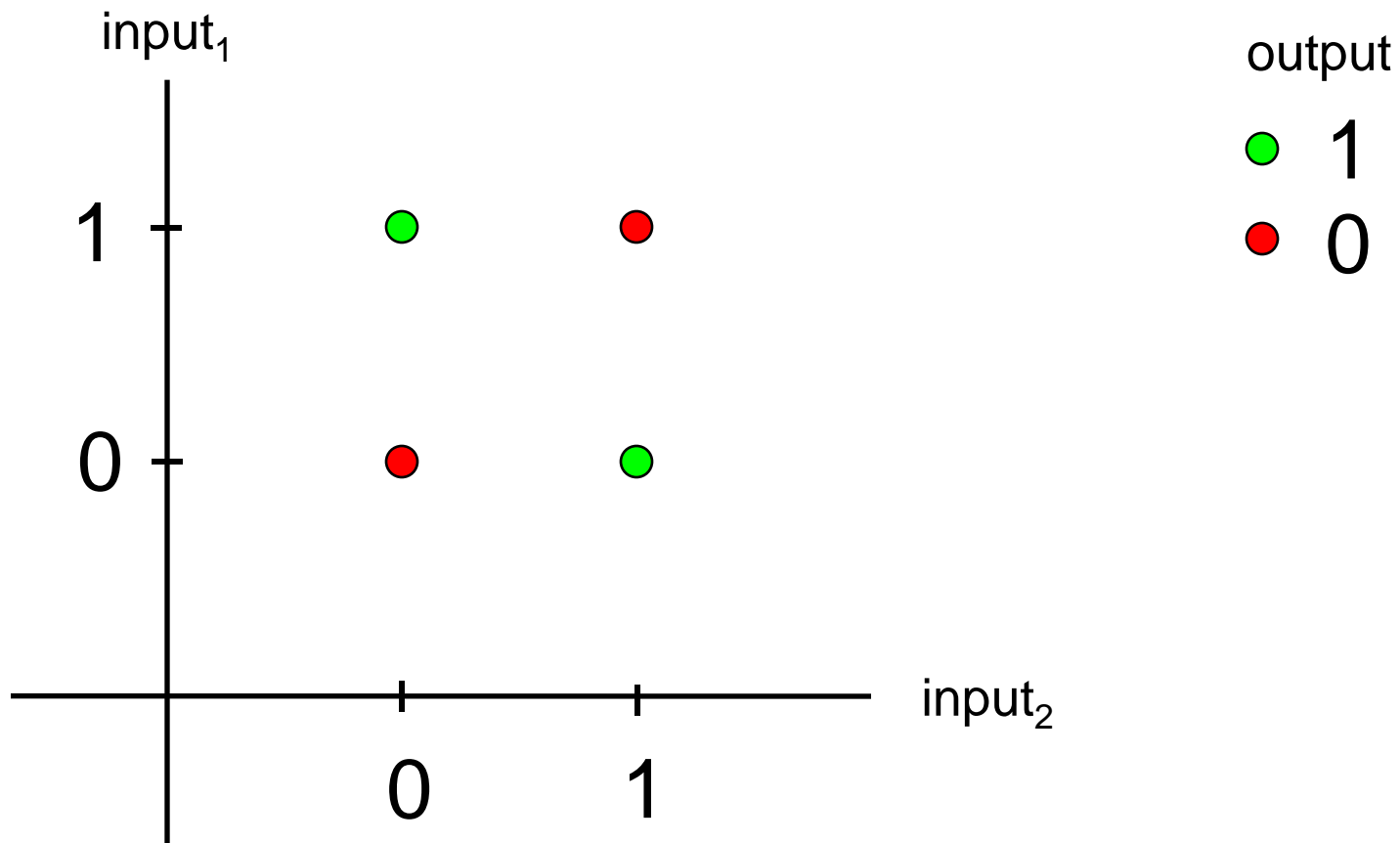
Perzeptron (Demo)

<http://www.eee.metu.edu.tr/~alatan/Courses/Demo/AppletPerceptron.html>

Exklusiv-Oder (XOR)

input ₁	input ₂	output
1	1	0
1	0	1
0	1	1
0	0	0

XOR-Problem



Mehrschichtiges Perzeptron (Demo)

<http://www.eee.metu.edu.tr/~alatan/Courses/Demo/BackPropagation.htm>
<http://www.sund.de/netze/applets/BPN/bpn2/ochre.html>

Historie

1943	McCulloch & Pitts, erste Modelle
1949	Hebb, Postulat des Lernens
1957	Rosenblatt, Perzeptron
1969	Minsky & Papert, Limitierungen des Perzeptrons
1972	Kohonen, selbstorganisierende KNN
1974	Werbos, Lernregel für mehrschichtige Perzeptrons (nicht beachtet)
1986	Rumelhart & McClelland, Popularisierung der Lernregel für MLP (Beginn des Revival)

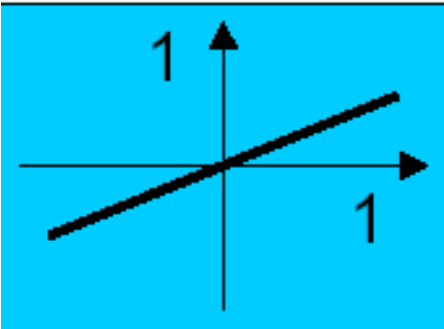
Berechnung der Aktivität

Aktivierung:
$$a_i = \sum_j w_{ji} x_j - \theta$$

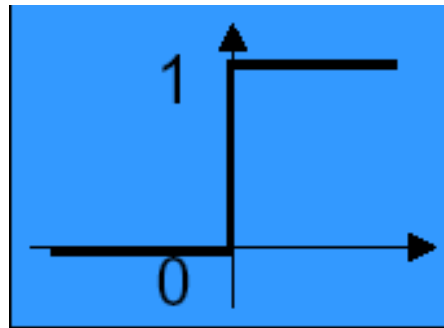
Aktivität:
$$x_i = f(a_i)$$

Transferfunktion:
$$f(a_i)$$

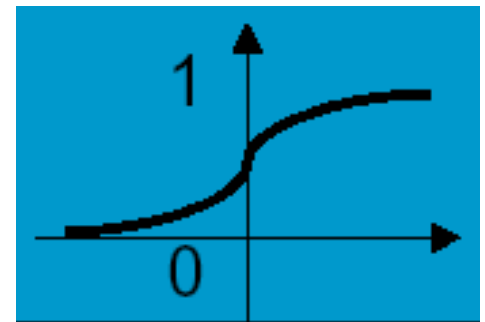
Transferfunktionen



linear

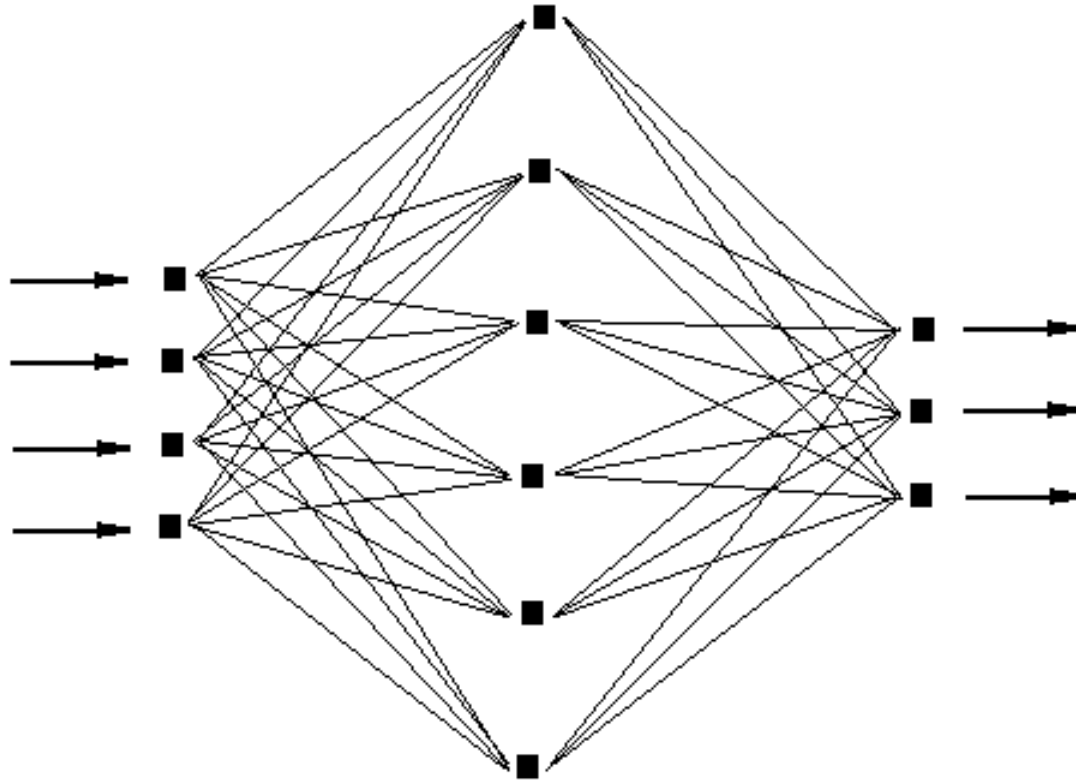


Sprungfunktion

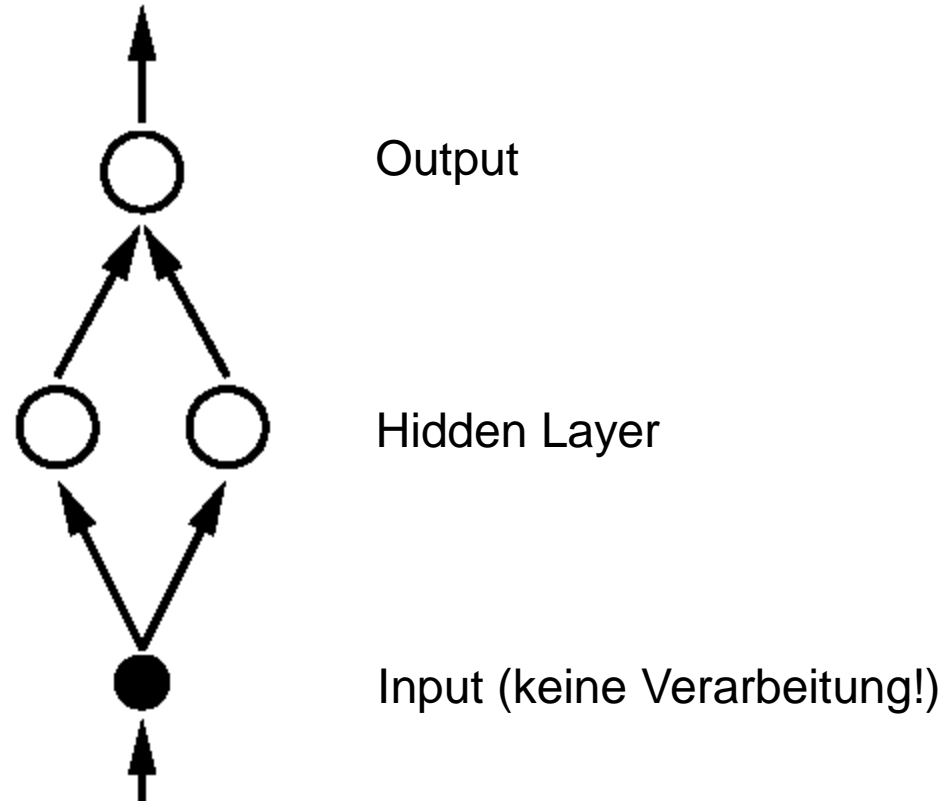


Sigmoidfunktion

Mehrschichtiges Perzeptron (MLP)



Mehrschichtiges Perzeptron



Training (Back-Propagation-Algorithmus)

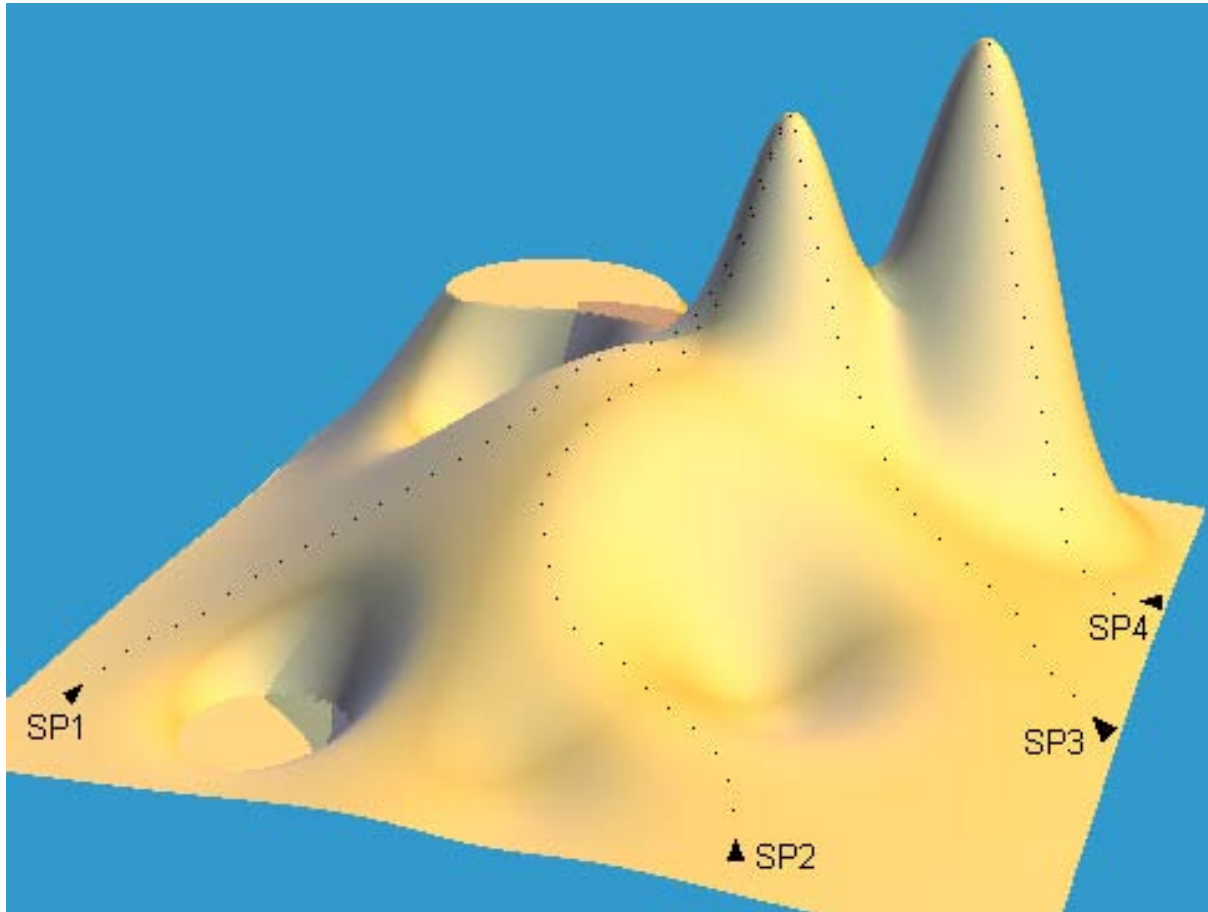
Partielle Ableitung

Partielle Ableitungen ermöglichen die Berechnung einer Lösung für Probleme, die von mehreren Parametern abhängen.

Partielle Ableitungen bilden die Komponenten des **Gradienten**.

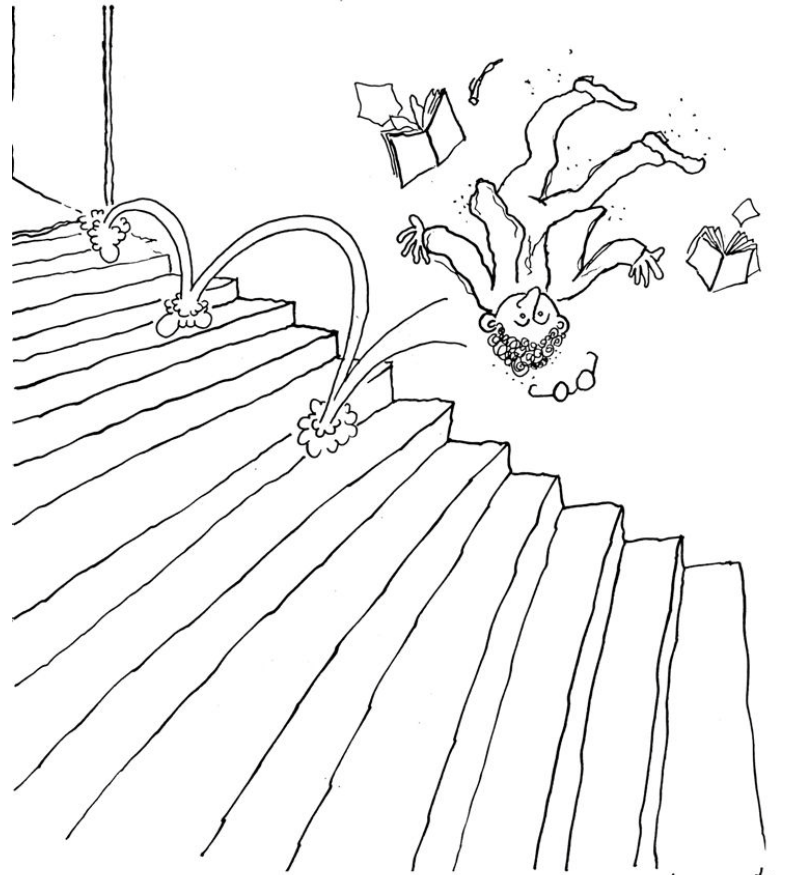
Ein **Gradient** gibt die Änderung einer Größe zwischen räumlich oder zeitlich definierten Punkten an, er ist ein Vektor und zeigt in Richtung des größten Gefälles.

Gradientenverfahren



Quelle: http://www.statistics4u.info/fundstat_germ/cc_optim_meth_gradient.html

Gradientenverfahren



Just after learning the "Steepest Descent" method
in optimization class...

Quelle: <http://www.urasip.org/DSPHumour/steepest-descent.jpg>

Gradientenabstieg



Kettenregel

$$\frac{df}{dx} = \frac{df}{dg} \frac{dg}{dx}$$

Hängt f nur *über* g von x ab, so ist die Ableitung von f nach x gleich dem Produkt aus der Ableitung von f nach g (wobei g als Variable behandelt wird) und der Ableitung von g nach x .

Anwendung Kettenregel

$$\frac{df}{dx} = \frac{df}{dg} \frac{dg}{dx}$$

$$f(x) = 2(3 - x^2)^3$$

$$g(x) = 3 - x^2$$

$$f(g) = 2g^3$$

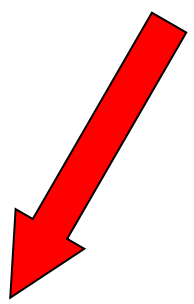
$$\frac{df}{dx} = 6g^2 \cdot (-2x) = 6(3 - x^2)^2 (-2x)$$

Back-Propagation I

$$E = \frac{1}{2} \sum_i e_i^2$$

$$e_i = \begin{cases} z_i - x_i, & i \in \mathbb{Z} \\ 0, & \text{sonst} \end{cases}$$

Anwendung der Kettenregel


$$\Delta w_{ji} = -\eta \frac{\partial E}{\partial w_{ji}} = -\eta \frac{\partial E}{\partial a_i} \frac{\partial a_i}{\partial w_{ji}}$$

Back-Propagation II

$$\begin{aligned} a_i &= \sum_{j=1}^N w_{ji} x_j - \theta \\ &= \sum_{j=1}^N w_{ji} x_j + w_{0i} x_0, \text{ wobei } x_0 \equiv 1 \\ &= \sum_{j=0}^N w_{ji} x_j \end{aligned}$$

$$\frac{\partial a_i}{\partial w_{ji}} = x_j$$

Back-Propagation III

$$\delta_i \equiv \frac{\partial E}{\partial a_i} \qquad \frac{\partial a_i}{\partial w_{ji}} = x_j$$

$$\Delta w_{ji} = -\eta \frac{\partial E}{\partial a_i} \frac{\partial a_i}{\partial w_{ji}} = -\eta \cdot \delta_i \cdot x_j$$

δ_i^{inj} : injizierte Fehler δ_j^{imp} : implizite Fehler

Injizierte Fehler

$$\delta_i^{inj} = \frac{\partial E}{\partial a_i} = \frac{\partial E}{\partial x_i} \frac{\partial x_i}{\partial a_i}$$

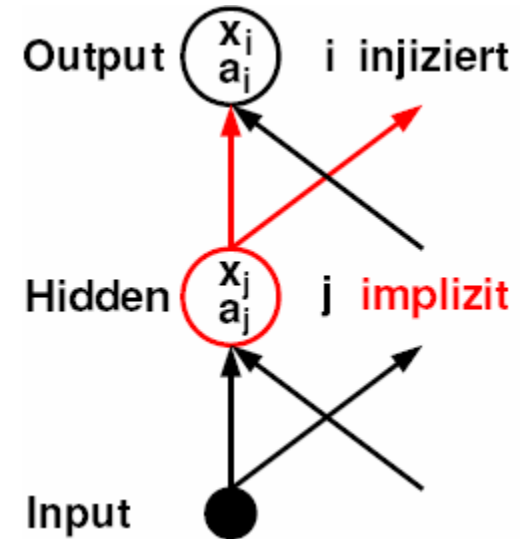
$$\frac{\partial E}{\partial x_i} = \frac{\partial(1/2 \sum_i (z_i - x_i)^2)}{\partial x_i} = -1 \cdot (z_i - x_i)$$

$$\frac{\partial x_i}{\partial a_i} = \frac{\partial(f(a_i))}{\partial a_i} = f'(a_i)$$

$$\delta_i^{inj} = -f'(a_i) \cdot (z_i - x_i)$$

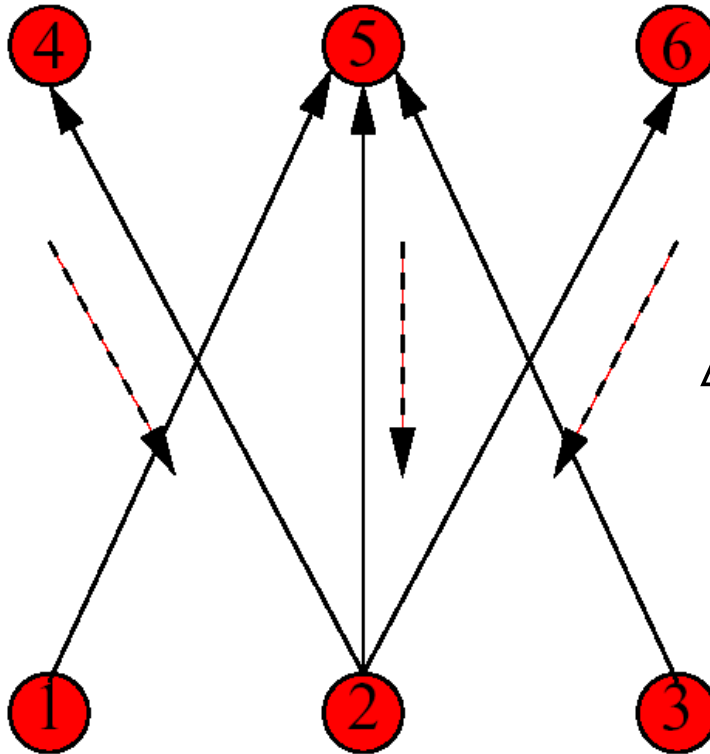
Implizite Fehler

$$\begin{aligned}\delta_j^{imp} &= \frac{\partial E}{\partial \mathbf{a}_j} = \sum_{i \in \mathcal{N}_j} \frac{\partial E}{\partial \mathbf{a}_i} \frac{\partial \mathbf{a}_i}{\partial \mathbf{a}_j} = \sum_{i \in \mathcal{N}_j} \delta_i \frac{\partial (w_{ji} \mathbf{x}_i)}{\partial \mathbf{a}_j} \\ &= \sum_{i \in \mathcal{N}_j} \delta_i \frac{\partial (w_{ji} f(\mathbf{a}_j))}{\partial \mathbf{a}_j} \\ &= f'(\mathbf{a}_j) \sum_{i \in \mathcal{N}_j} w_{ji} \delta_i\end{aligned}$$



Zusammenfassung

$$x_5 = f(w_{15}x_1 + w_{25}x_2 + w_{35}x_3)$$



$$\Delta w_{25} = -\eta \cdot \delta_5 \cdot x_2$$


$$\delta_2 = f'(a_2) \cdot (w_{24}\delta_4 + w_{25}\delta_5 + w_{26}\delta_6)$$

Hebbsche Lernregel

Das Grundprinzip der meisten gebräuchlichen Lernverfahren geht auf eine Beobachtung von biologischen Neuronen durch Hebb (1949) zurück. Hebb stellte fest, dass Adaption im Modell dadurch erreicht werden kann, wenn man das Gewicht zwischen zwei stark feuernden Units vergrößert. Das gleichzeitige Feuern deutet auf eine Korrelation zwischen den beiden Units hin, daher wird die gegenseitige Beeinflussung vergrößert.

Ableitung Transferfunktion

Was fehlt noch für die vollständige Berechnung des Gradienten?

 $f'(a)$

Transferfunktion

 Hier: Ableitung der Sigmoidfunktion

$$f(a) = \frac{1}{1 + e^{-a}}$$

Ableitung Sigmoidfunktion

$$f(a) = \frac{1}{1 + e^{-a}} \quad \left(\frac{f}{g}\right)' = \frac{gf' - fg'}{g^2} \text{ (Quotientenregel)}$$

$$(e^{-a})' = \left((e^a)^{-1}\right)' = -1 \cdot (e^a)^{-2} \cdot e^a = -e^{-a} \text{ (Kettenregel)}$$

$$\begin{aligned} f'(a) &= \frac{0 - (-e^{-a})}{(1 + e^{-a})^2} = \frac{1 + e^{-a} - 1}{(1 + e^{-a})^2} \\ &= \frac{1 + e^{-a}}{(1 + e^{-a})^2} - \frac{1}{(1 + e^{-a})^2} = \frac{1}{1 + e^{-a}} \left(1 - \frac{1}{1 + e^{-a}}\right) \\ &= f(a) \cdot (1 - f(a)) = \mathbf{x(1 - x)} \end{aligned}$$

Zusammenfassung

$$\Delta w_{ji} = -\eta \cdot \delta_i \cdot x_j$$

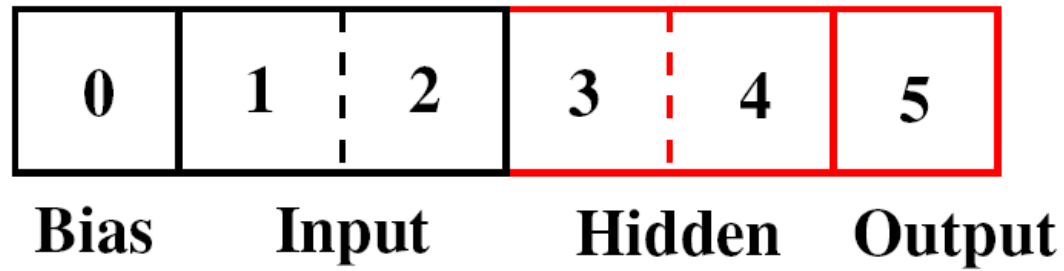
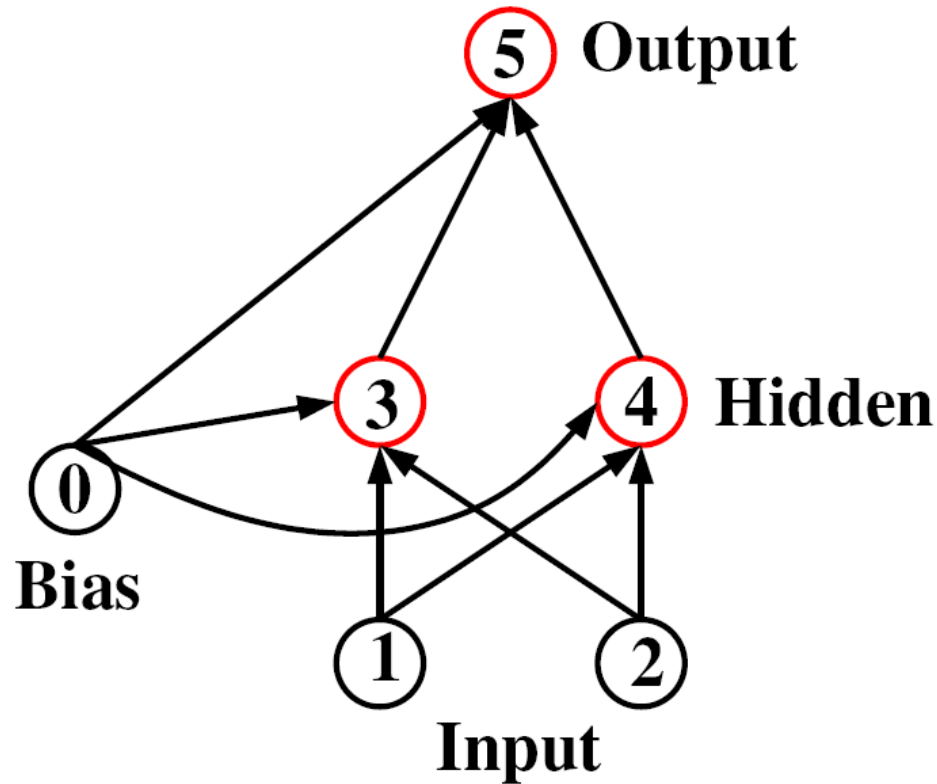
$$\delta_i^{inj} = -f'(a_i) \cdot (z_i - x_i)$$

$$\delta_j^{imp} = f'(a_j) \sum_{i \in \mathcal{N}_j} w_{ji} \delta_i$$

Sigmoidfunktion:

$$f'(a_i) = x_i(1 - x_i)$$

Implementierung MLP



Berechnung Forward (propagate())

// set Input

```
for(i=1;i < StartHidden;i++)
```

```
    Activity[i] = Pattern[ActPattern][i]; // !!i
```

// compute Input \Rightarrow Hidden

```
for(i=StartHidden;i < StartOutput;i++) {
```

```
    Activation = Activity[0] * Weight[0][i]; // Threshold
```

```
    for(j=1;j < StartHidden;j++)
```

```
        Activation += Activity[j] * Weight[j][i];
```

```
    Activity[i] = sigmoid(Activation); // Transfer Function
```

```
}
```

// compute Hidden \Rightarrow Output

```
for(i=StartOutput;i < NoNeuron;i++) {
```

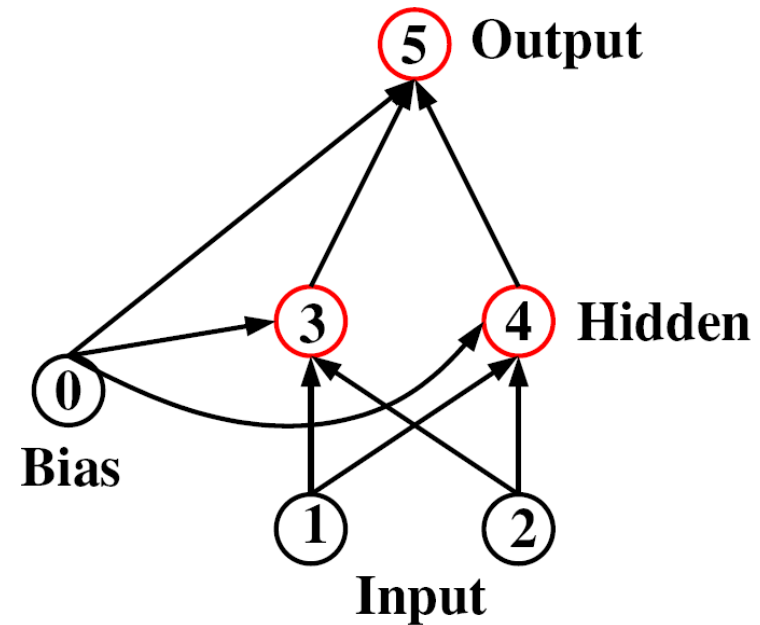
```
    Activation = Activity[0] * Weight[0][i]; // Threshold
```

```
    for(j=StartHidden;j < StartOutput;j++)
```

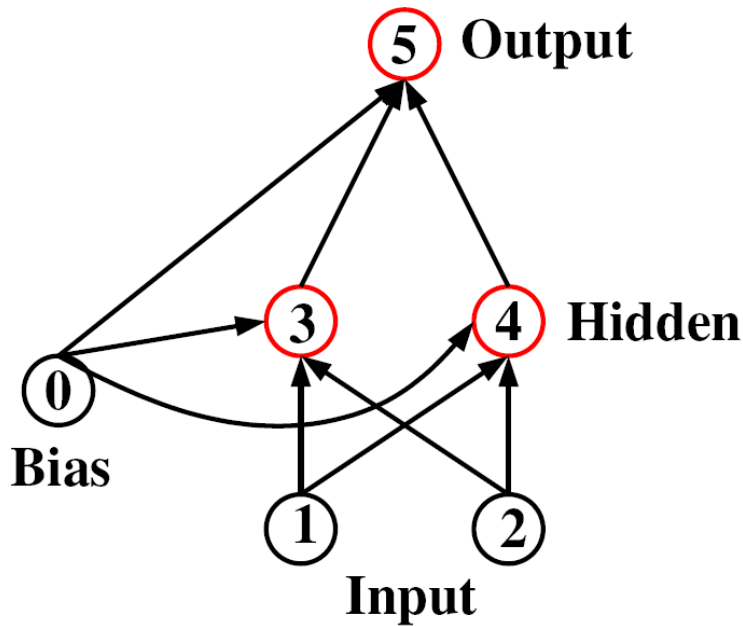
```
        Activation += Activity[j] * Weight[j][i];
```

```
    Activity[i] = sigmoid(Activation); // Transfer Function
```

```
}
```



back_propagate - injizierter Fehler



$$\delta_i^{inj} = -f'(a_i) \cdot (z_i - x_i)$$

// Delta Output (injizierter Fehler)

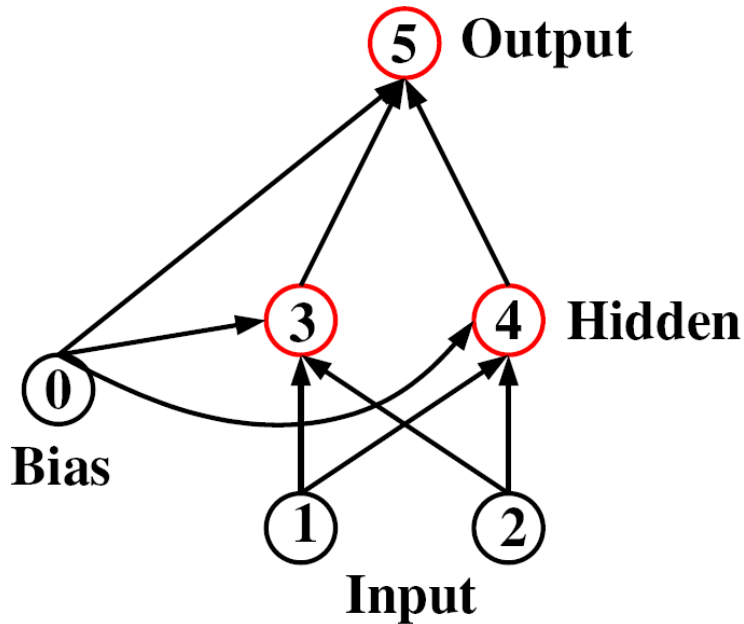
```
for(i=StartOutput;i < NoNeuron;i++) {
```

```
    Delta[i] = (-1.) * (Target[Pattern][i] - Activity[i]); // !!i
```

```
    Delta[i] *= Activity[i] * (1. - Activity[i]); // Ableitung Sigmoid
```

```
}
```

back_propagate() – impliziter Fehler



$$\delta_i^{imp} = f'(a_i) \sum_{j \in N_i} w_{ij} \delta_j$$

// Delta Hidden (impliziter Fehler)

```
for(i=StartHidden;i < StartOutput;i++) {
```

```
  for(j=StartOutput, Delta[i] = 0.;j < NoNeuron;j++)
```

```
    Delta[i] += Weight[i][j] * Delta[j];
```

```
Delta[i] *= Activity[i] * (1. - Activity[i]); // Ableitung Sigmoid
```

back_propagate() - Gradient

$$\Delta w_{ij} = -\eta \cdot \delta_j \cdot x_i$$

// Bias

```
for(j=StartHidden;j < NoNeuron;j++)
```

```
    DeltaWeight[0][j] += (Activity[0] * Delta[j]) // Hebb
```

// Input \Rightarrow Hidden

```
for(i=1;i < StartHidden;i++)
```

```
    for(j=StartHidden;j < StartOutput;j++)
```

```
        DeltaWeight[i][j] += (Activity[i] * Delta[j]); // Hebb
```

// Hidden \Rightarrow Output

```
for(i=StartHidden;i < StartOutput;i++)
```

```
    for(j=StartOutput;j < NoNeuron;j++)
```

```
        DeltaWeight[i][j] += (Activity[i] * Delta[j]); // Hebb
```